

SQ.

Spezielle Schmerztherapie

Zertifizierter Fortbildungskurs in der Schweiz «80-Stunden Curriculum»

2. bis 9. Februar 2019
Nottwil und Luzern, Schweiz

**Interventionelle Therapieoptionen bei
neuropathischen Schmerzen**

Dr. med. En-Chul Chang, MSc

Leitender Arzt Schmerzklinik SRO Langenthal

SRO.

Neues Projekt: Aufbau einer Schmerzklinik

spital
region
oberaargau

Einladung zum Mini-Symposium

«Schmerz in der Praxis»

Donnerstag, 24. Januar 2019



14 Jahre ZSM

Seit 4 Monate SRO Langenthal

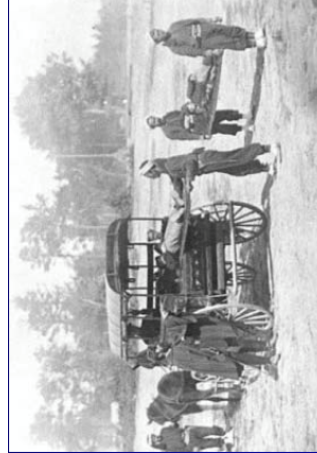
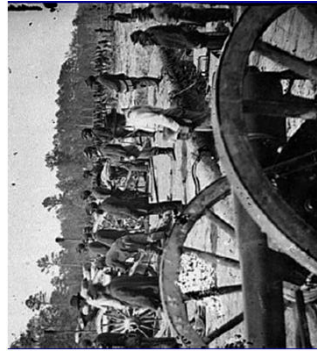
SRO.

SD.

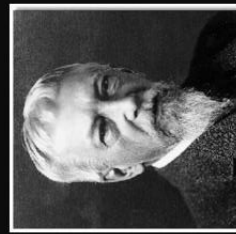
Silas Weir Mitchell 1829-1914



- Neurologe: Militärarzt während Bürgerkrieg in Amerika
- "Injuries of Nerves and Their Consequences (1872)"
- *Brennender Schmerz*
- *Teilläsion häufig schmerzhafter als Nervendurchtrennung*
- *Hypersensitivität - Allodynie*



There are those who suffer and grow strong; there are those who suffer and grow weak. This mystery of pain is still for me the saddest of earth's disabilities.



AZ QUOTES

SD.

Neuropathischer Schmerz



International Association for the Study of Pain

IASP

Working together for pain relief

■ Definition (2008):

,Neuropathische Schmerzen werden durch eine Läsion oder Krankheit des somatosensorischen Systems verursacht“

SD.

Sensorische +/- Phänomene

- Hyp(er)ästhesie
- Dysästhesie
- Parästhesie
- Thermische und mechanische Hyp(er)algesie
- Kälte-, Wärme- und taktile Allodynie
- *Klinisch: Brennende, blitzartig einschiesende nächtliche Schmerzen*



KASTEN 1

Ätiologisch/anatomisch-basierte Klassifikation neuropathischer Schmerzen*

Peripherie, fokale oder multifokale schmerzhafte Neuropathien

- Postzosterische Neuralgie
- Post-Mastektomie-Schmerz, Post-Thorakotomie-Schmerz, Narbenschmerzen
- Phantomschmerz, Stumpfschmerz
- Trigeminus-Neuralgie
- Chronische Radikulopathien, Postdiskotomiesyndrom
- Posttraumatische Neuropathie (territoriales neuropathisches Schmerzsyndrom)
- Engpasssyndrome

Diabetische Mononeuropathie

Morton-Neuralgie

Ischämische Neuropathie

Bannwarth-Syndrom (Borrelien-Infektion)

Neurologische Schulteramyotrophie, Plexusläsion nach Bestrahlung

Plexusinfiltration durch Tumor

Peripherie, generalisierte, schmerzhafte Neuropathien (Polyneuropathien)

Diabetes mellitus, Alkohol, Hypothyreose, Vitaminmangel

Medikamente

Chemotherapeutika (Platin, Taxoide, Vincristin)

Antiretrovirale Substanzen

Andere Substanzen (Disulfiram, Ethambutol, Isoniazid, Nitrofurantoin, Thioracil, Chloramphenicol)

Infektös oder post-infektiös, immunologisch

Chronisch inflammatorische Polyneuropathie

Bannwarth-Syndrom (Borrelien-Infektion), HIV-Neuropathie

Hereditär

Amyloidose, Morbus Fabry, Charcot-Marie-Tooth Typ 2B und 5

Herdetäre sensibel-autonome Neuropathie (HSAN) Typ 1 und 1B

Toxine

Acrylamid, Arsen, Clioquinol, Dinitrophenol, Ethylenoxid, Pentachlorophenol, Thallium

Malignome

Paraneoplastisch (insbesondere Bronchialkarzinom)

Hirninfarkt (insbesondere Thalamus, Hirnstamm)

Rückenmarkverletzungen

Multiple Sklerose

Syringomyelie

„Mixed-pain“ Syndrome

Chronische Rückenschmerzen

Tumorschmerzen (bei Infiltration von neuronalen Strukturen)

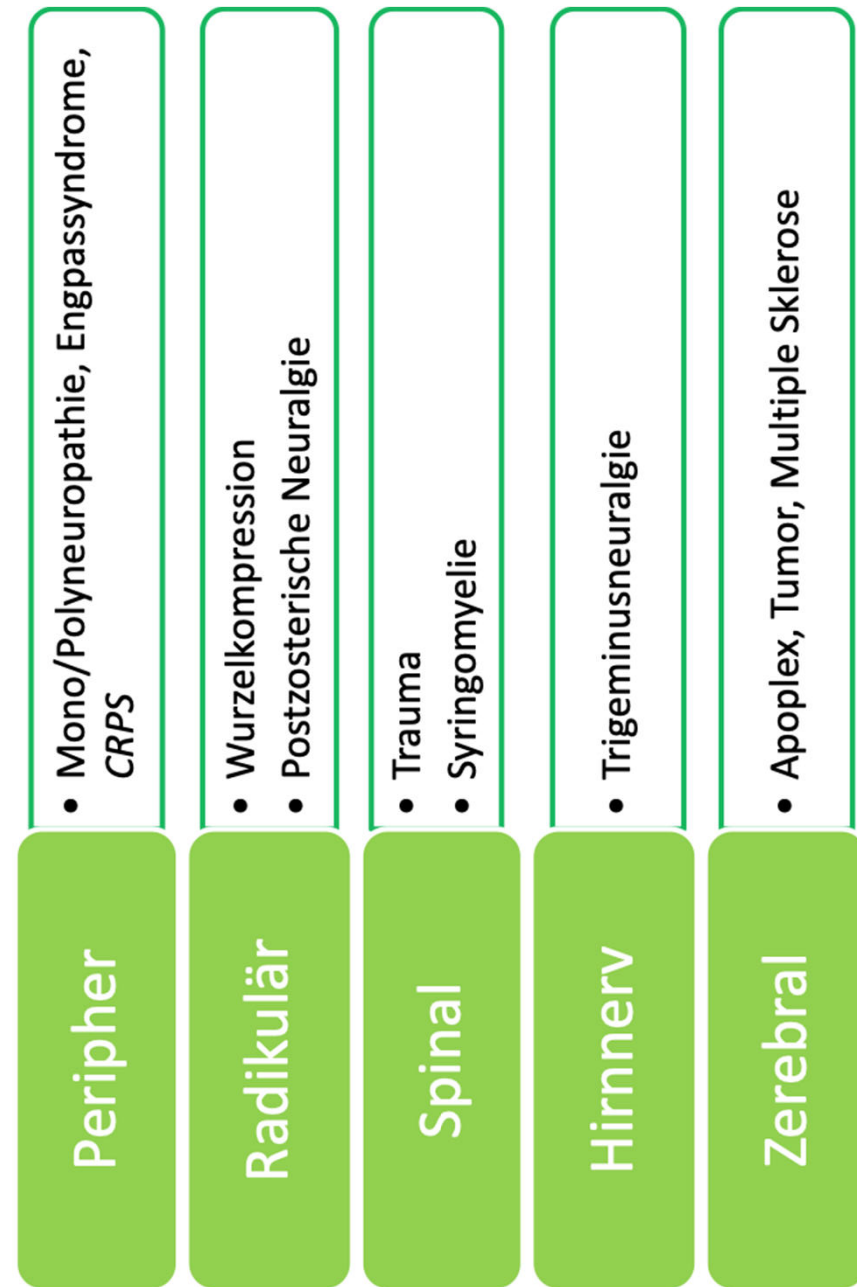
Komplexes regionales Schmerzsyndrom (M. Sudeck, sympathische Reflexdystrophie, Kausalgie)

- Mononeuropathie/Engpasssyndrom
- Polyneuropathie/Small-fibre-Neuropathie
- Plexusläsion
- Komplexes regionales Schmerzsyndrom (CRPS)
- Phantomschmerz
- Neuralgie (z.B. Trigeminusneuralgie)
- Neuropathie (z.B. Trigeminusneuropathie)
- Nervenwurzel
- Wurzelkompressionssyndrome
- Radikulitis, Ganglionitis
- postherpetische Neuralgie
- Rückenmark
- Trauma/Querschnittslähmung
- Syringomyelle
- Rückenmarktumore
- multiple Sklerose
- Hirn
- Schlaganfall (z.B. Thalamusinfarkt)
- multiple Sklerose
- Tumor

Ralf Baron

SD.

Klinisch-ätiologische Einteilung



SD.

Klinisch-ätiologische Einteilung

Peripher

- Selektive periphere Nervenblockaden (z.Bs. Medianusblockaden bei CTS) Plexusläsionen: Plexuskatheter
- CRPS I-II: IVRA, Sympathikusblockaden

Radikulär

- Wurzelblockaden bei Radikulopathie oder postzosterischen Neuralgien in Akutphase

Spinal

- Trauma, Syringomyelie eher *neurochirurgische Optionen*: DREZ, SCS etc.

Hirnnerv

- Trigeminusneuralgie: Ganglion Gasseri
- Radiofrequenzbehandlung

Zerebral

- Apoplex, Tumor, Multiple Sklerose
- *Eher neurochirurgische Optionen*

SD.

Klinisch-ätiologische Einteilung

Peripher

- Mono/Polyneuropathie, Engpasssyndrome,
CRPS

Radikulär

- Wurzelkompression
- Postzosterische Neuralgie

Spinal

- Trauma
- Syringomyelie

Hirnnerv

- Trigeminus neuralgie

Zerebral

- Apoplex, Tumor, Multiple Sklerose

SD.

Complex Regional Pain Syndrome

Das komplexe regionale Schmerzsyndrom (CRPS) ist durch regionale, persistierende Schmerzen, meist einem traumatischem Ereignis folgend, mit sensorischen, vaso-, sudomotorischen, motorischen und trophischen Veränderungen gekennzeichnet. Die Veränderungen übersteigen in Intensität, Dauer und Verteilung das auslösende Ereignis. Die Verteilung ist distal betont mit der Tendenz zur Ausbreitung nach proximal bis hin zur Beteiligung des gesamten Quadranten.

Typ 1 (früher Sudeck)

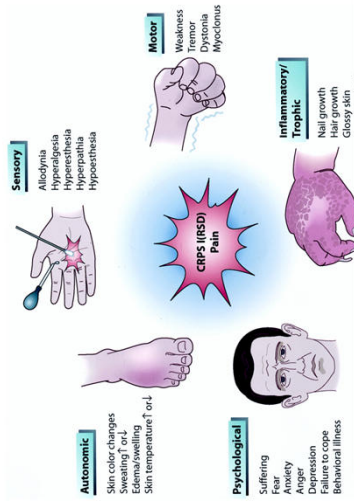
kann u.a. einem Trauma ohne Verletzung eines Nerven, einem Herzinfarkt, Schlaganfall, Immobilisierung folgen.

Typ 2 (früher Kausalgie)

definierte, objektivierbare Nervenläsion vor Auftreten der Symptomatik.



Klinische Zeichen-Diagnose-Therapie



CRPS

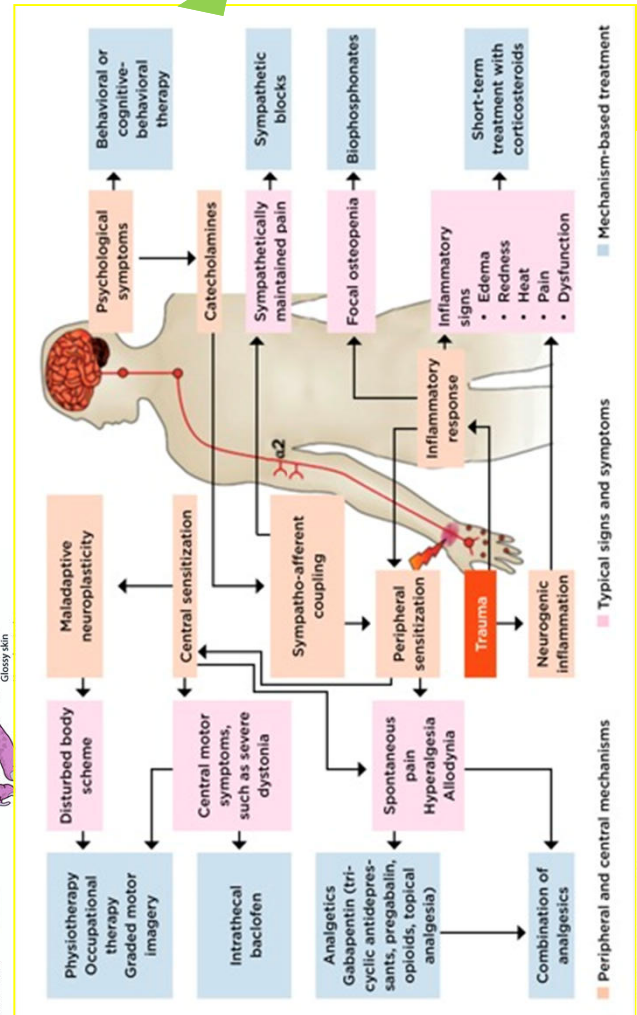


Tabelle 1:
IASP-Diagnosekriterien (Budapest-Kriterien)
für CRPS (9)

1. Anhaltender Schmerz, der durch das Anfangstrauma nicht mehr erklärt wird.
2. In der Anamnese mindestens ein Symptom aus 3 der 4 folgenden Kategorien:
 - a) Hyperalgesie (Überempfindlichkeit für Schmerzeize)
 - b) Hyperästhesie (Überempfindlichkeit für Berührung, Allodynie)
 - c) Asymmetrie der Hauttemperatur: Veränderung der Hautfarbe
 - d) reduzierte Beweglichkeit, Dystonie, Tremor, «Paresen» (im Sinne von Schwäche), Veränderungen von Haar oder Nagelwachstum
3. Zum Zeitpunkt der Untersuchung mindestens ein Symptom aus 2 der 4 folgenden Kategorien:
 - a) Hyperalgesie auf spitze Reize (z.B. Nadelstich), Allodynie, Schmerz bei Druck auf Gelenke/Knochen/Muskeln
 - b) Asymmetrie der Hauttemperatur: Veränderung der Hautfarbe
 - c) Asymmetrie im Schweißen: Ödem
 - d) reduzierte Beweglichkeit, Dystonie, Tremor, «Paresen» (im Sinne von Schwäche), Veränderungen von Haar oder Nagelwachstum
4. Es gibt keine andere Diagnose, die diese Schmerzen erklärt

PAINMEDICINE NEWS

PRINT-FRIENDLY VERSION AVAILABLE AT PAINMEDICINENEWS.COM

BORIS Y AGUDA, MD

Fellow in Pain Medicine
Center for the Study of Treatment of Pain
Department of Anesthesiology
New York University Medical Center
New York, New York

Typical signs and symptoms

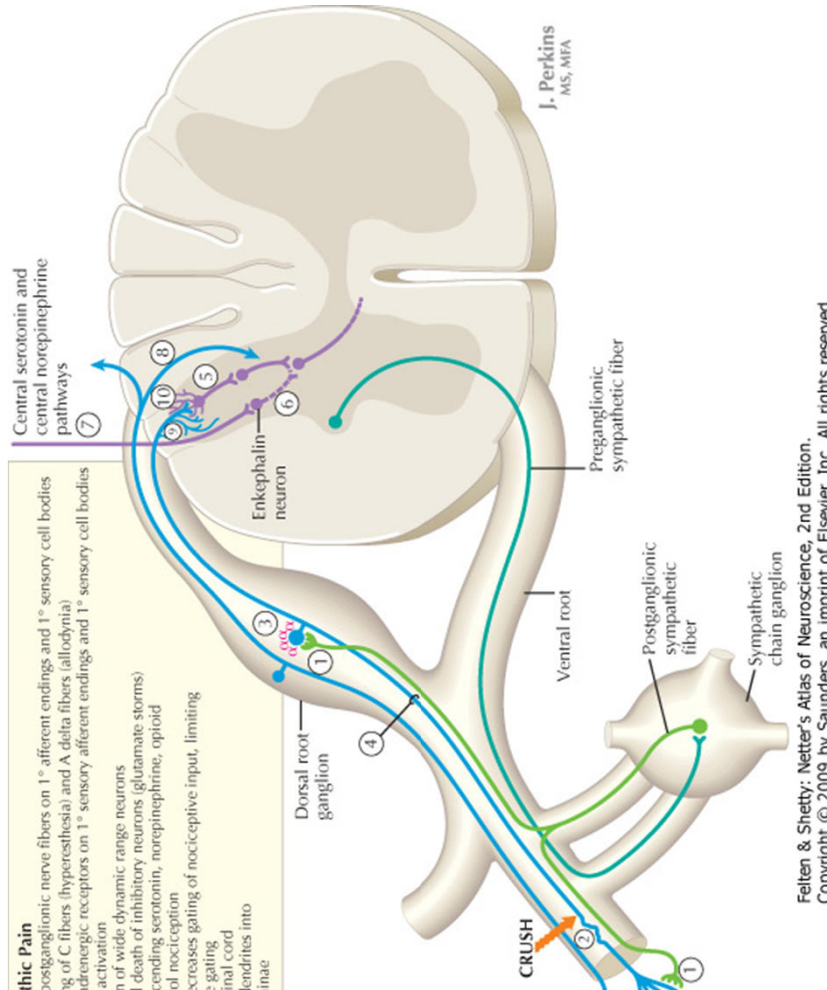
Mechanism-based treatment

Complex Regional Pain Syndrome:
Pathophysiology, Diagnosis, and Treatment

Harden RN, Bruehl S, Stanton-Hicks M, Wilson PR. Proposed new diagnostic criteria for complex regional pain syndrome. Pain Med 2007;8(4):326-31.

Interventionelle Optionen

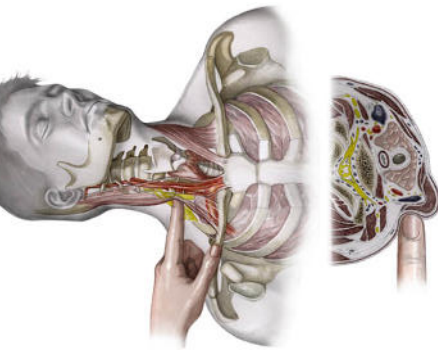
- Regionale Grenzstrangblockaden:
 - Warum lindert eine Sympathicusblockade den Schmerz?



SMP:
nozizeptive Signale werden direkt an sympathische Efferenzen verschaltet, welche wiederum die Erregungsschwelle peripherer Nozizeptoren herabsetzen.

SD.

Ganglion Stellatum Blockade



Das untere Halsgrenzstrangganglion ist meist mit dem 1. thorakalen Ganglion (Ganglion thoracicum I) zum **Ganglion cervicotraheale** (**Ganglion stellatum**) verschmolzen. Es liegt vor dem Köpfchen der 1. Rippe unmittelbar oberhalb der Pleurakuppel.

SO.

Efficacy of Stellate Ganglion Blockade for the Management of Type 1 Complex Regional Pain Syndrome

William E. Askerman, III, MD, Jun-Ming Zhang, MSc, MD

DOI: 10.1097/01.smj.0000233257.76957.b2

VOLUME: 99 ISSUE: 10 OCTOBER, 2006

Results: Symptom onset of CRPS I until the initiation of SGB therapy ranged between 3 to 34 weeks. Following the SGB series, patient pain relief was as follows: group I, 10/25 (40%) had complete symptom relief; group II, 9/25 (36%) had partial relief and group III, 6/25 (24%) had no relief. The duration of symptoms until SGB therapy was: group I, 4.6 ± 1.8 weeks, group II, 11.9 ± 1.6 weeks and group III, 35.8 ± 27 weeks. Compared with the normal control hand, the skin perfusion in the CRPS I affected hand was greater in group I and decreased in groups II and III.

Trotz der geringen Evidenz probates Mittel bei Therapieresistenz
konservativ/medikamentöser Massnahmen vor Erwägung eines SCS

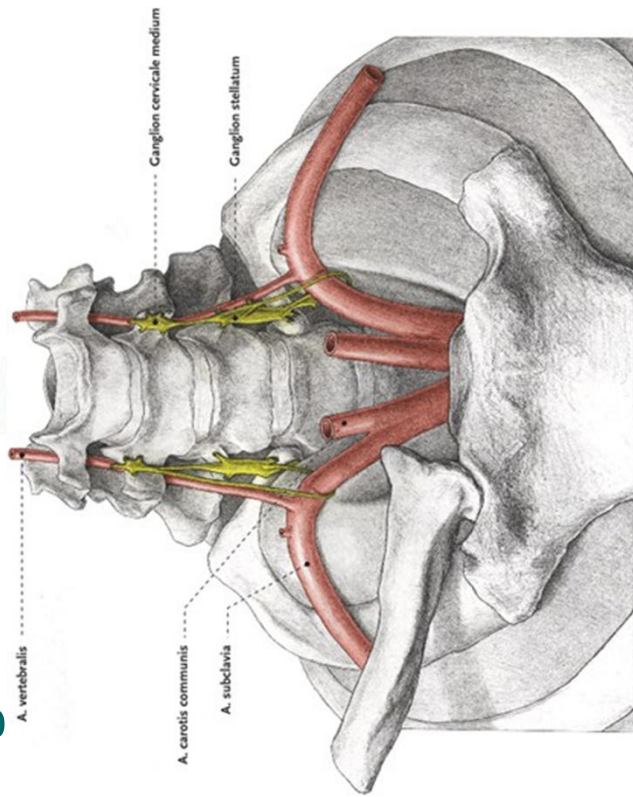
Cepeda MS, Carr DB, Lau J. Local anesthetic sympathetic blockade for complex regional pain syndrome (review).
Cochrane Database Syst Rev. 2005;CD004598. [PubMed: 16235369]

SD.

Materialien/Komplikationen

Intervention unter Durchleuchtung

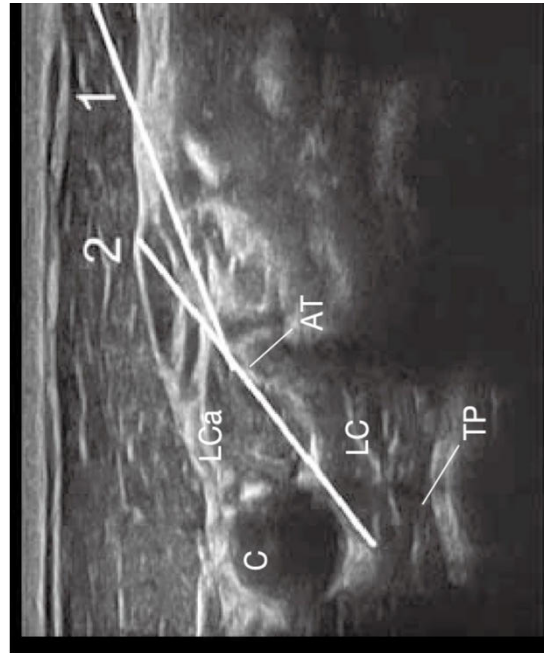
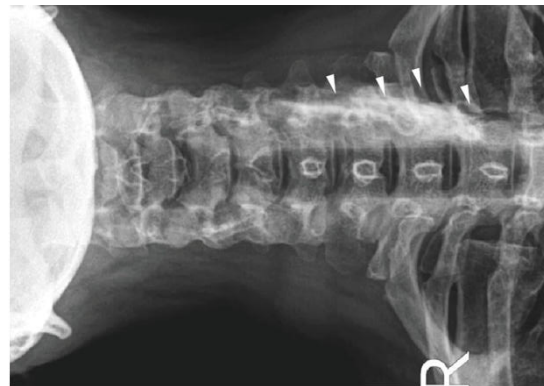
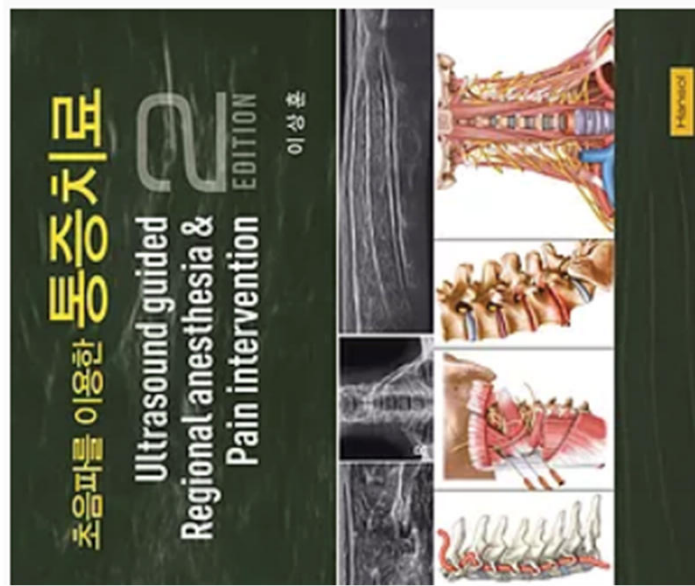
- Nadel 22G, 5 cm
- Kreislaufmonitoring, venöser Zugang
- Intubationsbereitschaft
- ca. 5 ml Chirocain 0.25%
- Komplikationen:
 - zerebraler Krampfanfall ca 1:1000
 - Hohe Spinalanästhesie
 - Pneumothorax
 - Trachea/Ösophaguspunktion



Auf Höhe C6 tritt A.vertebralis ins Foramen transversum: sichere Punktionsstelle versus sichererer Blockadeerfolg –
Sonographie als Alternative:
cave Lage, Ausdehnung in Bezug auf Ganglion anatomisch sehr variabel
(Felix Mandel, „Blockade und Chirurgie des Sympathicus“ Springer Verlag Wien 1953)

SO.

Sonographische Darstellung



Cervical sympathetic ganglion block : needle trajectory. B: first target is the anterior tubercle(1), and then turn the direction of the needle to the posterior aspect of the common carotid artery(2). C : common carotid artery, LCa : longus colpis, LC : longus colli, AT : anterior tubercle, TP : transverse process

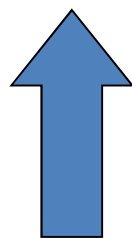
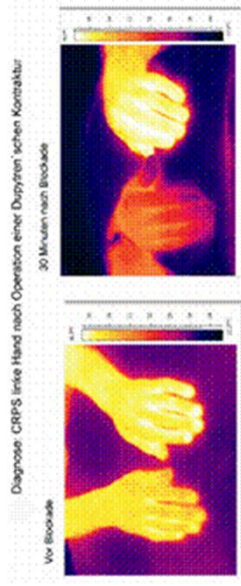
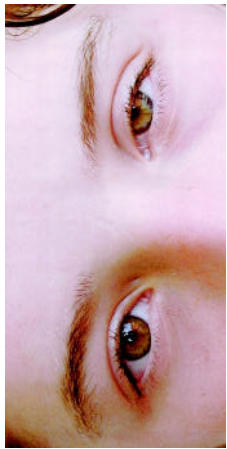
Author: Sang Hoon Lee, MD, Ph.D

English Editor: Gustavo Rydberg, MDReque, MD.

SO.

Falsch positiver/negativer Block

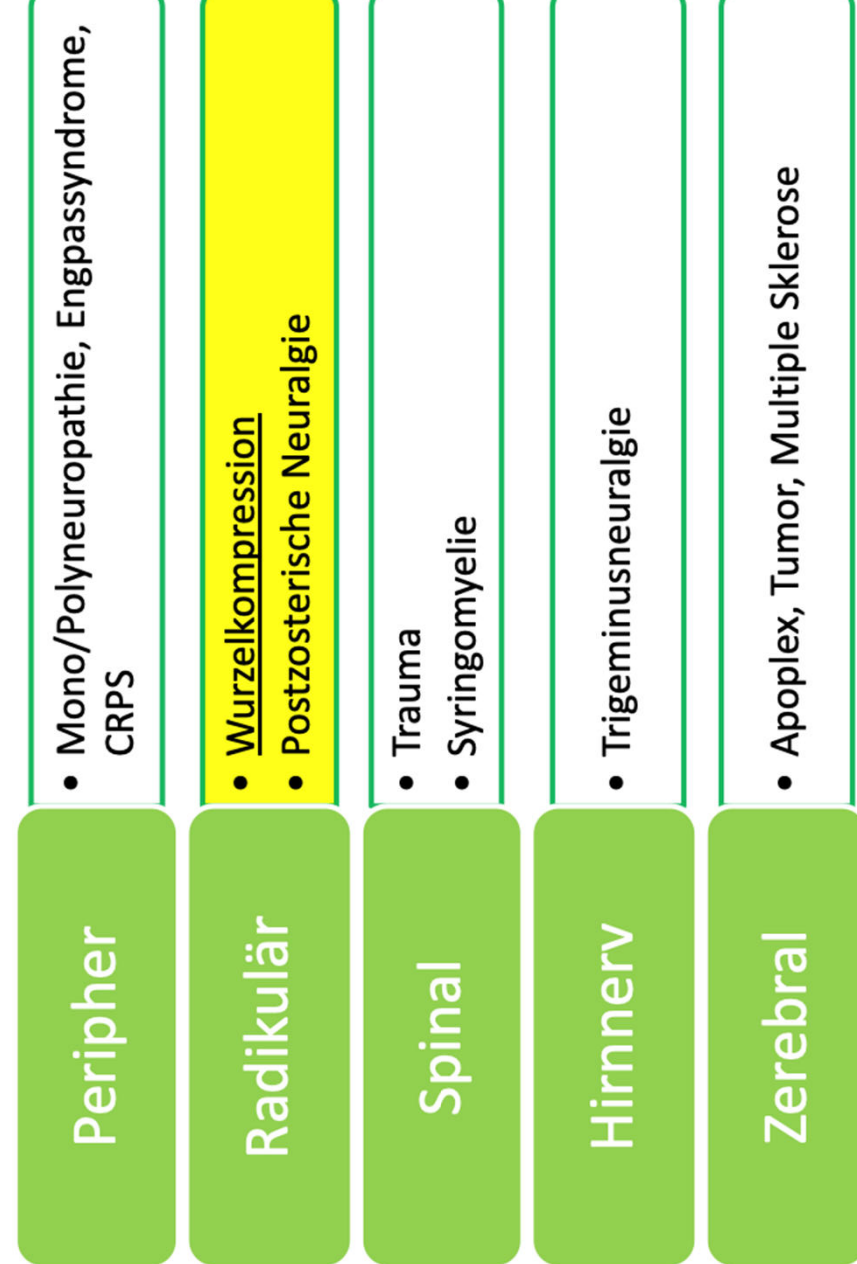
- Horner Syndrom kein sicheres Zeichen für Blockadeerfolg des Armsympathikus (Thermographie)
- In ca. 30%-(60%): sympathische Versorgung des Armes durch Kunz'schen Nerv über Th 2-4



- Bei Versagen einer Stellatumblockade, thorakale Intervention erwägen (CT-gesteuert)
 - bei Therapieresistenz Evaluation SCS erwägen

SD.

Klinisch-ätiologische Einteilung



SD.

Radikulärer Schmerz

- Prevalenz: 9.9%-25%
- Ausstrahlende Schmerzen ins Bein teilweise mit sensiblen und/oder motorischen Einschränkungen
- Zuordnung zu einer bestimmten Nervenwurzel nicht immer möglich
- Dermatome können überlappen

Radikulärer Schmerz ≠ Radikulopathie

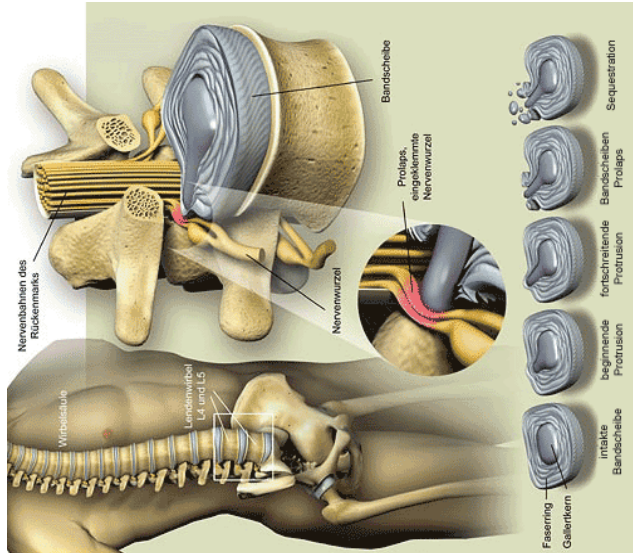
Radiating pain

Pain distribution in neuraxis segment	Neurological deficits	Patho-anatomical substrate
--	--------------------------	-------------------------------

Segmental

Radiculopathy	+	+
Radicular pain	+	-
Segmental pain	+	-

Patho-anatomical substrate





Epidemiology

- Annual prevalence: 9% to 25%
- Point Prevalence: 4.6% to 13.4%
- Life Time Prevalence: 1.2% to 43%
- Häufigster neuropathischer Schmerz
- Schmerz ist teilweise bzw. komplett regredient bei 60% der Pat.
Innerhalb von 12 Wochen
 - Patient < 50 Diskushernie häufigste Ursache
 - Patient > 50 degenerative Veränderungen

Evidence-Based Interventional Pain Medicine: According to Clinical Diagnoses

Copyright © 2012 John Wiley & Sons, Ltd

Editor(s): Jan van Zundert, Jacob Patijn, Craig T. Hartnick, Arno Lataster, Frank J.

P. M. Huygen, Nagy Mekhail, Maarten van Kleef

Published Online: 1 NOV 2011 06:30AM EST

Print ISBN: 9780470671306

Online ISBN: 9781119968375

DOI: 10.1002/9781119968375



SO.

Radikulärer Schmerz

Pulsed Radiofrequency in Lumbar Radicular Pain: Clinical Effects in Various Etiological Groups

David Abejón MD, FIPP^{1,*}, Santiago Garcia-del-Valle MD², María Lorenzo Fuentes MD³, Juan Ignacio Gómez-Arnau MD, PhD², Enrique Reig MD, PhD, FIPP⁴, Jan Van Zundert MD, PhD, FIPP⁵

Article first published online: 16 FEB 2007
DOI: 10.1111/j.1533-2500.2007.01010.x



Pain Medicine

Pain Medicine 2015; 00: 00-00
Wiley Periodicals, Inc.



AMERICAN
ACADEMY OF
PAIN MEDICINE
www.painmed.org

Original Pulsed Radiofrequency for Chronic Intractable Lumbosacral Radicular Pain: A Six-Month Cohort Study

Nach 6 Monaten 55.4% mind. 50%
oder 2 NRS Punkte niedriger

- Signifikante Reduktion von Schmerz und Medikamentenbedarf :
 - Diskushernie : $\frac{\text{NNT } 1.38}{\text{NNT } 1.19}$
 - Spinale Stenose

Neuromodulation Technology at the Neural Interface

Percutaneous Pulsed Radiofrequency Treatment of the Cervical Dorsal Root Ganglion in the Treatment of Chronic Cervical Pain Syndromes: A Clinical Audit

J. Van Zundert, MD^{1,4,*}, I. E. Lamé, MSc¹, A. de Louw, MD², J. Jansen, MD¹, F. Kessels, MD, MSc³, J. Patijn, MD, PhD¹, M. van Kleef, MD, PhD¹

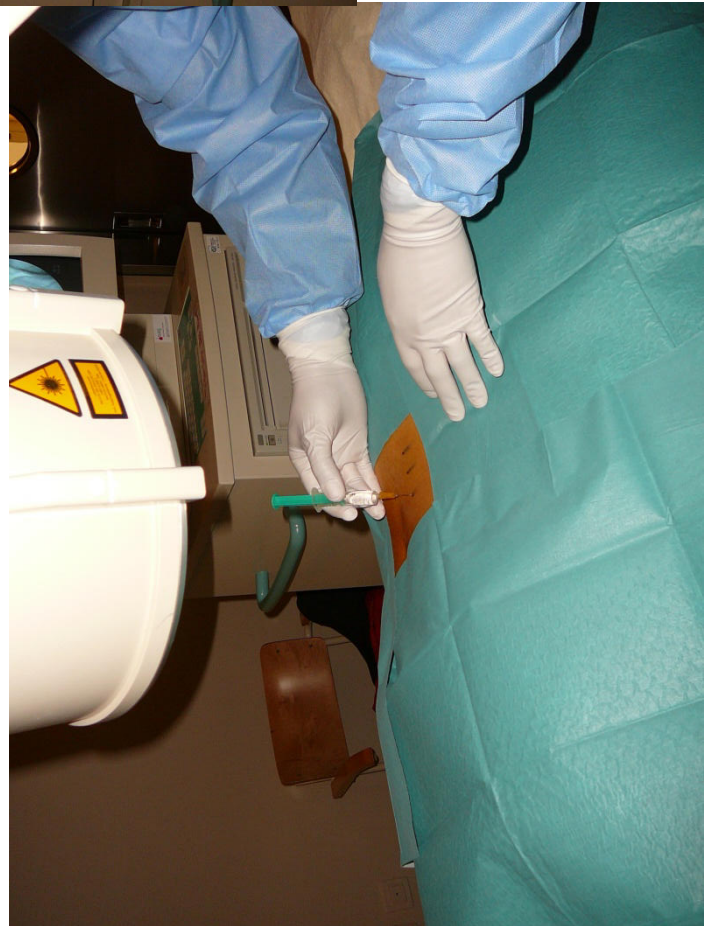
Article first published online: 13 MAY 2003
DOI: 10.1046/j.1525-1403.2003.03001.x

Neuromodulation
Technology at the Neural Interface
Volume 6, Issue 1, pages
6–14, January 2003

>50% Schmerzreduktion in 72% der Pat. (13/18)
nach 8 Wochen
6 Pat. nach 1 Jahr : Outcome gut oder sehr gut

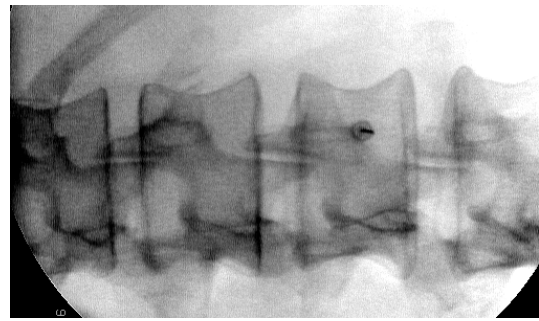
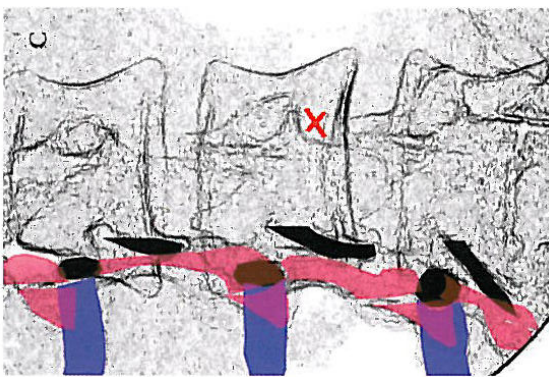
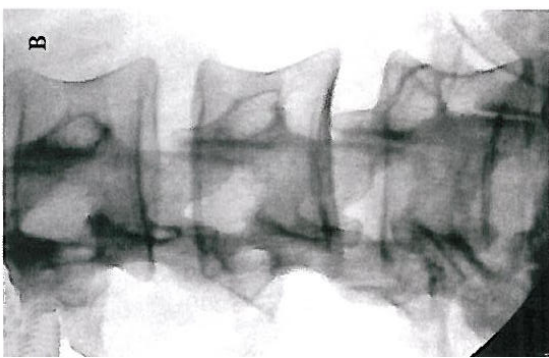
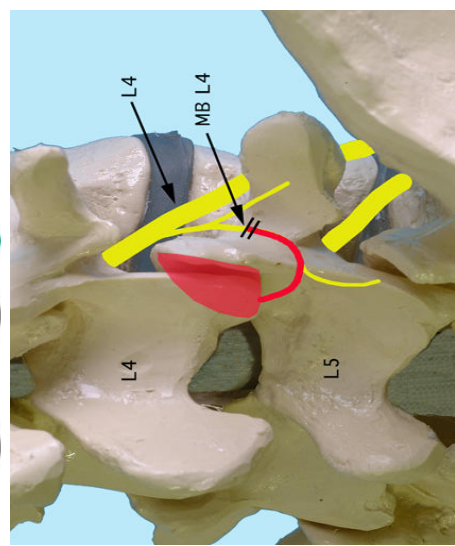
SD.

Intervention

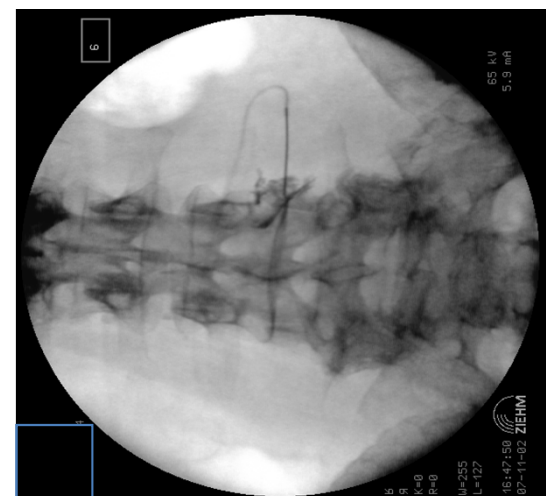


SD.

Diagnostische Nervenwurzelblockade



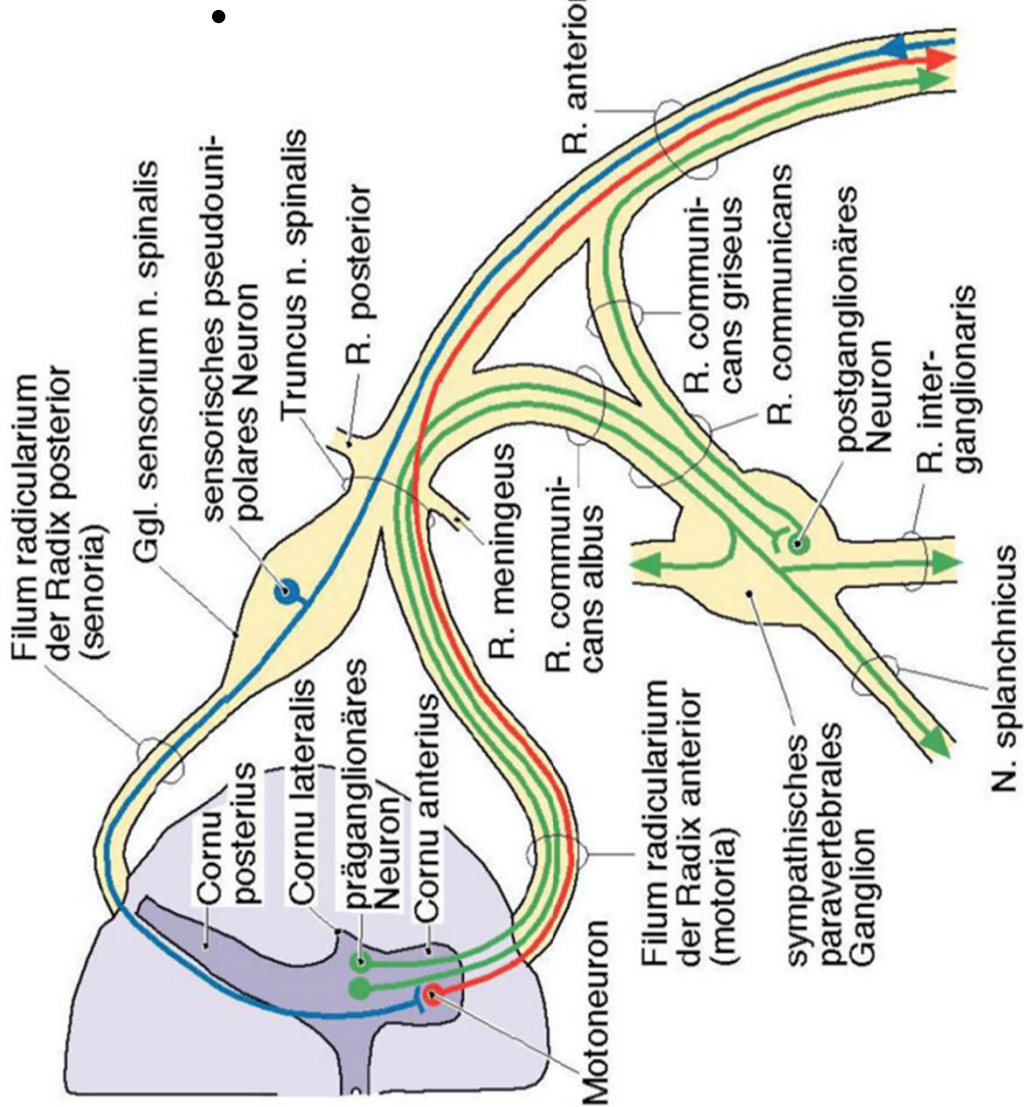
0.30 VOLT



- Anatomie
- Radiologische und graphische Darstellung des Zielpunktes
- Kontrastmittelverlauf

SO.

Anatomische Grundlagen



- Sympathische Nervenfasern gelangen über die anteriore Nervenwurzel über den Ramus communicans albus zum Grenzstrang. Einige Fasern werden hier umgeschaltet und gelangen über den Ramus communicans griseus über den Spinalnerv zu ihren Erfolgsorganen

SD.

Diagnostische Blockade

- 0.5-(1) ml Lidocain 2% im Bereich des Dorsalganglions
- Medikament breitet sich perineural aus
- Es werden somit zumeist, nicht nur die afferenten nozizeptiven Fasern, sondern auch die efferenten motorischen Fasern und sympathischen Nervenanteile blockiert:

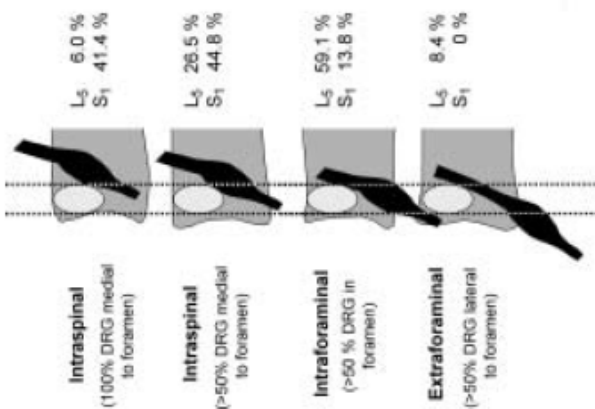
Schmerzabnahme erwünscht

Hypästhesie im Ausbreitungsbereich

Motorblock wahrscheinlich

Vasodilatation wahrscheinlich

Selektive Nervenwurzelblockade !?



- Variable Lage des DRG
- Blockade benachbarter Strukturen:
 - N.sinuvertebralis:
 - annulus fibrosus
 - Lig. Longitudinale post.
 - Dura mater etc.
 - Ramus dorsalis:
 - M.multifidi
 - Facettengelenk
- Periduraler Abfluss:
 - Blockade benachbarter Nervenwurzeln

Trotz Limitationen ist eine SNRB die rationalste Methode der Schmerzlokalisierung in der Stufendiagnostik
Eine positive Blockade sollte niemals endscheidende OP Indikation darstellen,
eine negative Blockade hingegen stellt ein wichtiges Argument gegen eine OP dar!

SD.

Kontrolle der Blockade

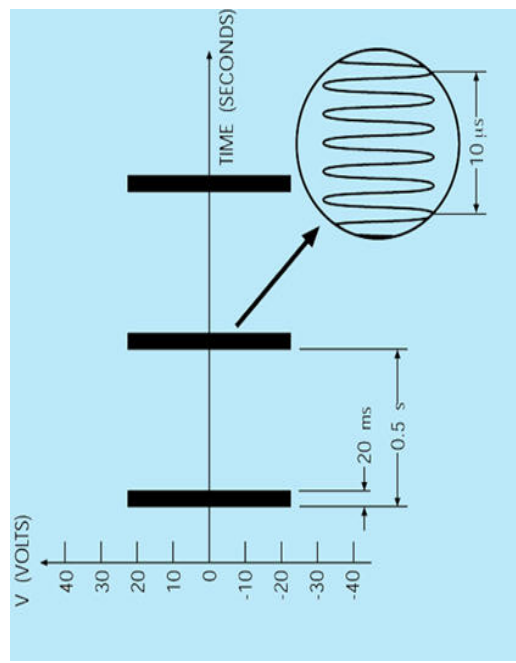


- Pat. Befragung inkl.
24h Schmerzfragebogen
- **Klinische Kontrolle
der Motorik/Sensorik**
- Thermographie ?/!

SD.

Pulsed Radiofrequency

- Frequenz 500000 Hz
- Puls
 - Breite 5 (10) (20) msec
 - Frequenz 5 (2)Hz
- Volt 45 V
- Dauer 120 (360-600 +) sec



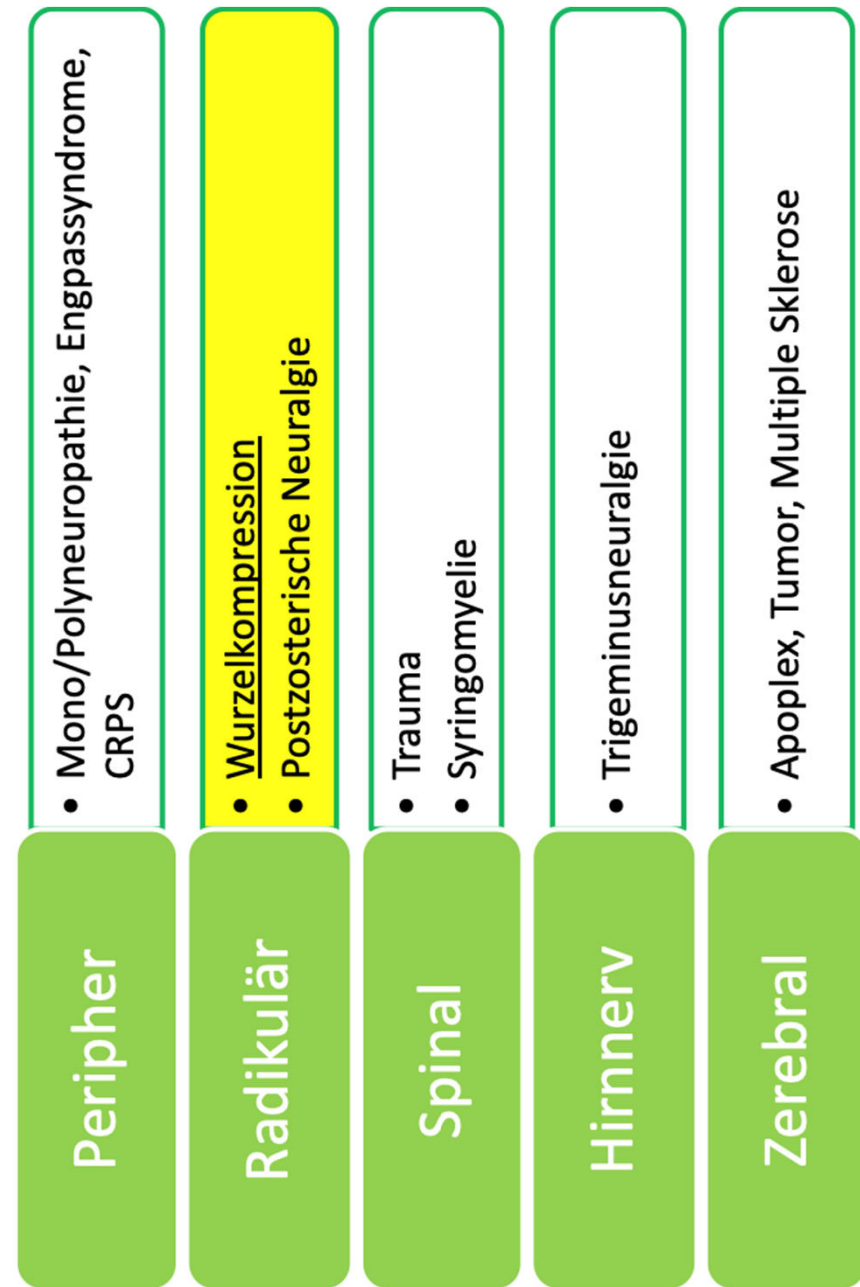


• Ziel der diag/therapeut. Wurzelblockade

- Diagnosesicherung: Bestätigung der klinischen Untersuchung bzw. der neurologischen Untersuchungsergebnisse
- Präoperative Diagnostik
- Therapeutischer Ansatz mit FPR (funktionelle perkutane Rhizotomie) oder *Kortison*
- Unterbrechung der akuten Schmerzexazerbation (sinnvolle Alternative zur single shot PDA) bei klarer Zuordnung der betroffenen Etage
- Überbrückung bis zur Aufdosierung und Wirksamkeit der oralen Medikation
 - Linderung der Schmerzen für effektive Physiotherapie
 - Medikamentenreduktion: Verbesserung der kognitiven Funktionen für z.Bs. Psychotherapie

SD.

Klinisch-ätiologische Einteilung





Herpes Zoster

- Durch Varicella-Zoster-Virus (VzV) bedingte neurokutane Erkrankung
- Gehäuft bei älteren Menschen ab dem 50. Lebensjahr

- Persistierender Schmerz :

- **Brennend, elektrisierend,**
- **unstillbarer Juckreiz, Allodynie**

- **10-15% der Patienten entwickeln eine PHN**



1.Dworkin RH, Portenoy RK. Pain and its persistence in herpes zoster. Pain. 1996;67(2-3):241-251.

2.Jung BF, Johnson RW, Griffin DR, Dworkin RH. Risk factors for postherpetic neuralgia in patients with herpes zoster. Neurology. 2004;62(9):1545-1551.

SO.

Herpes Zoster Schmerz vs. Postherpetische Neuralgie

Definition nicht einheitlich bzgl. zeitlicher Relation zum Auftreten bzw. Abklingen der Effloreszenz und Dauer der Beschwerden²:

Alte Definition:

Schmerzen bestehen 3 Monate nach Abklingen der Effloreszenzen¹

Zwischenzeitlich:

ZAP: Zoster Associated Pain in Frühphase

Aktuell:

- Akute Herpetische Neuralgie (AHN): Innerhalb 30 Tage nach Beginn der Effloreszenz
- Subakute HN (SHN): 30-120 Tage nach Beginn
- Postherpetische Neuralgie (PHN) : >120 Tage

1.Dworkin RH, Portenoy RK. Pain and its persistence in herpes zoster. Pain. 1996;67(2-3):241-251.

2.Jung BF, Johnson RW, Griffin DR, Dworkin RH. Risk factors for postherpetic neuralgia in patients with herpes zoster. Neurology. 2004;62(9):1545-1551.

3. G.Parrini. Post-herpetic Neuralgia.Int. Journal of General Medicine 2011;2:5 861-871

Interventionen

- **Nervenwurzelblockaden bzw. Pulsed Radiofrequency of the DRG:**
 - Pain score, drug use, health-related quality significantly improved during 12 weeks
 - **Intrathekale Kortisongabe**: „significant improvement in global pain relief after 2 years“
 - CAVE: fungale Meningitis, adhesive Arachnoiditis
 - **Single Shot Periduralanästhesie mit Kortison:** „modest effect for 1 month“
- **Sympathikusblockaden :**
 - erfolgsversprechend innerhalb von 2 Monaten (92% schmerzfrei) nach Schmerzbeginn, danach nur 14%¹
 - Prophylaktischer Effekt wahrscheinlich
 - Hypothese: verbesserte Durchblutung/Verhinderung von Nekrosen, Schmerzstärke korreliert mit Ausbild **Frühzeitige interventionelle Therapie anstreben!**
 - **Sympat**lock for PHN“⁴

1.An Update on the Treatment of Postherpetic Neuralgia
Christopher L. Wu and Srinivasa N. Raja. Department of Anesthesiology and Critical Care Medicine, The Johns Hopkins University School of Medicine
The Journal of Pain, Vol 9, No 1 (January), Supplement 1, 2008: pp S19-S30

2.Dworkin RH, Epidemiology and natural history of herpes zoster and postherpetic neuralgia. In: Watson CPN, Gershon AA, eds. Herpes zoster and postherpetic neuralgia. New York:Elsevier Press; 2001:39-64.

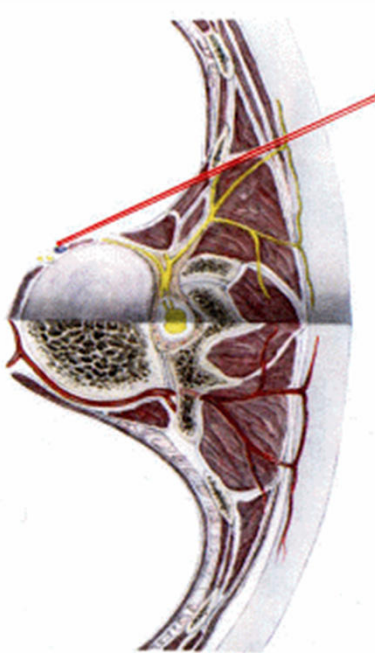
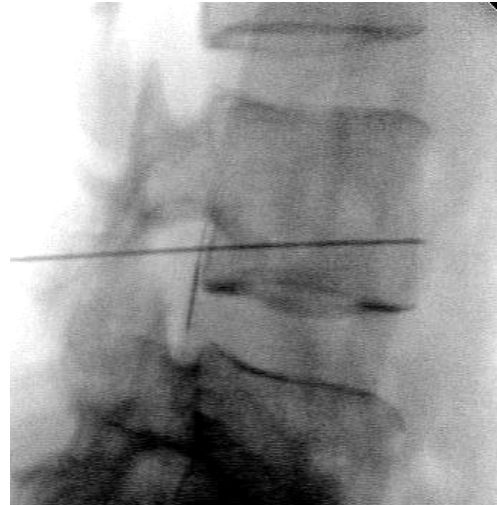
3.Kotani N et al: Intrathecal methylprednisolone for intractable postherpetic neuralgia. N Engl J Med 343:1514-1519, 2000

4. Dworkin RH et al.: Interventional management of neuropathic pain:NeuPSIG recommendations.
PAIN Volume 154, Issue 11, November 2013, Pages 2249-2261

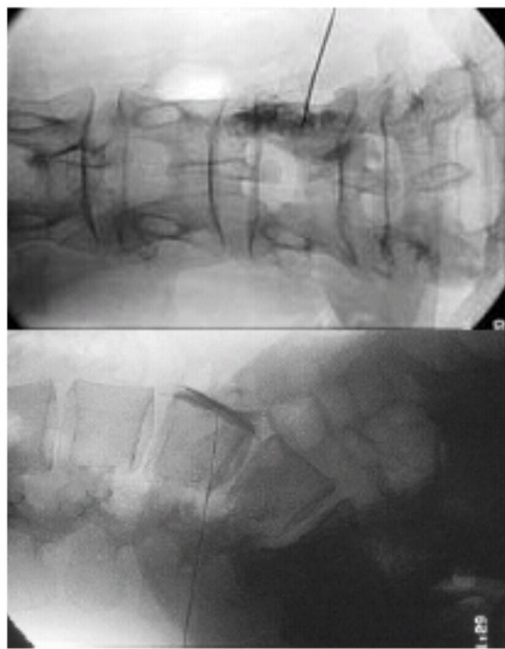
5.Kim YH et al.: Effect of pulsed radiofrequency for postherpetic neuralgia:
Acta Anaesthesiologica Scandinavica 2008,52(8):1140-1143

SD.

Sympathicusblockade lumbal



Copyright "Die Greifswalder Anatomie"



SD.

Perkutane Blockade/Neurolyse des lumbalen Grenzstrang

- 5-10 ml Bupivacain
- Neurolyse mit 3-5 ml Äthanol 96%
- Radiofrequenz ?
- Nicht höher als LWK 2

Blasen/Darm/Ejakulationsstörungen



SD.

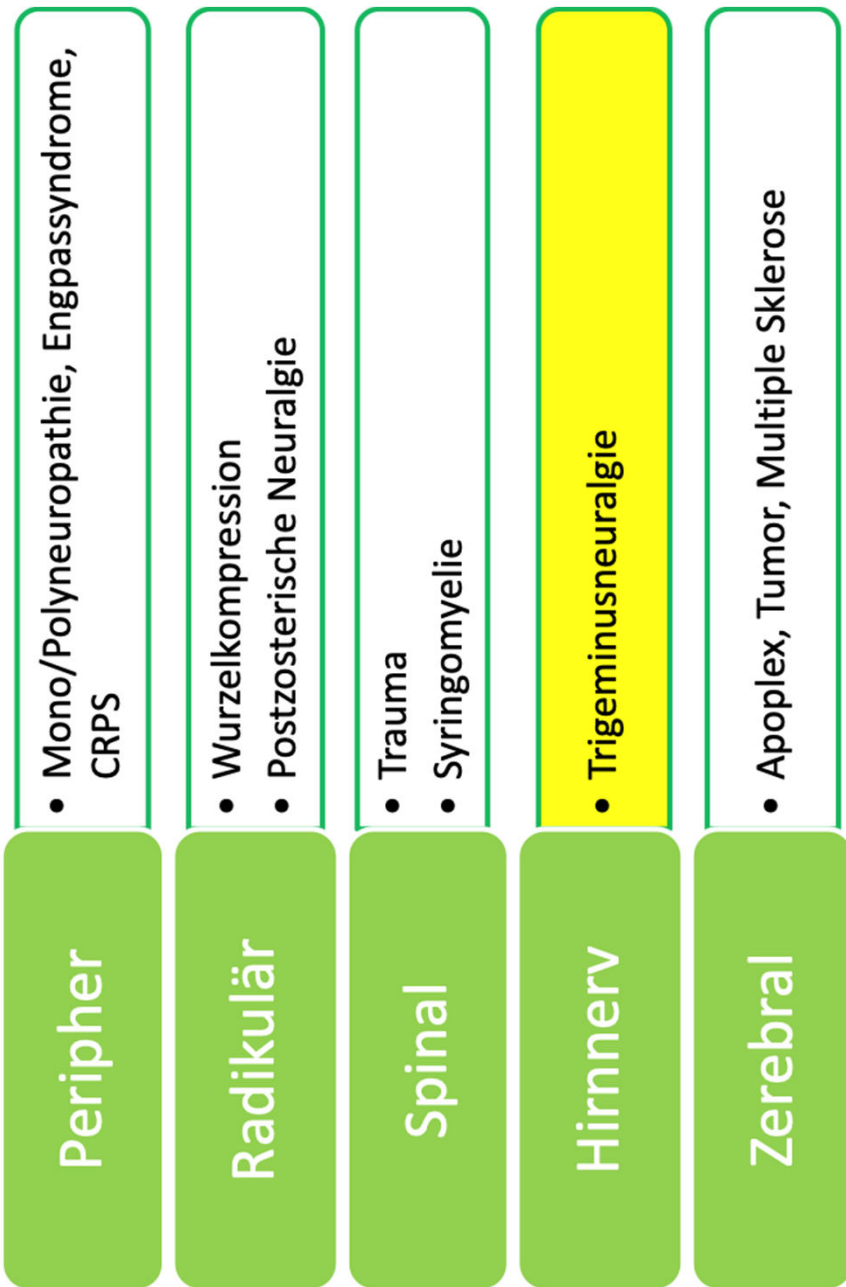
Komplikationen

- Nervenverletzung
- Akzidentelle Gefäß/Organperforation
- Ureterverletzung
- Darmmotilitäts-, Blasenentleerungs- und Ejakulationstörung bei bds. hoher Sympathikusausschaltung

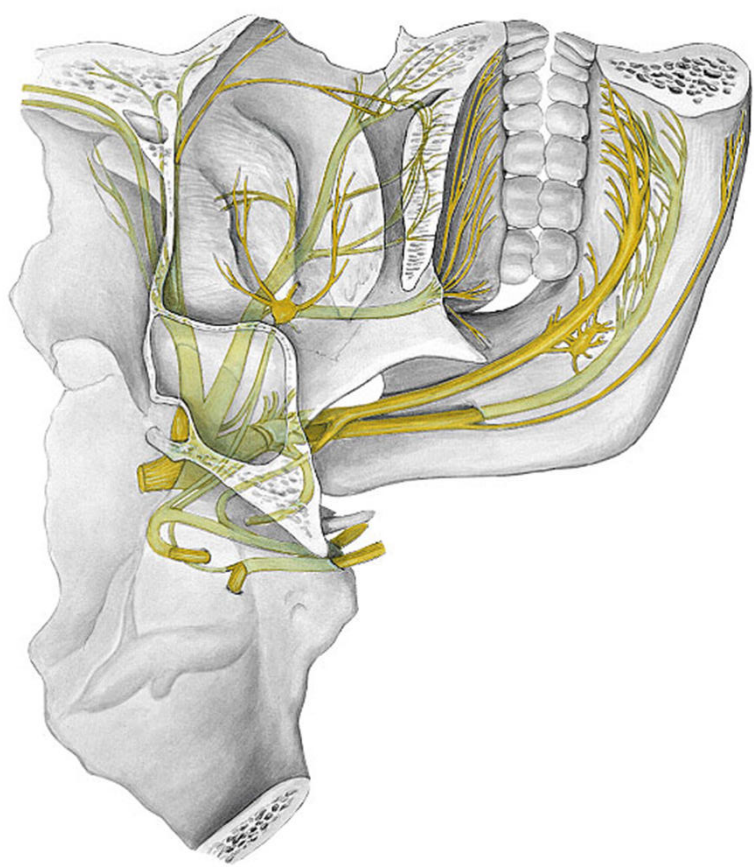


SD.

Klinisch-ätiologische Einteilung



SD. Trigeminusneuralgie



Trigeminal neuralgia: New classification and diagnostic grading for practice and research

Giorgio Cruccu, Nanna B. Finnerup, Troels S. Jensen, et al.
Neurology published online June 15, 2016
DOI 10.1212/WNL.0000000000002840

Table

Definition and classification of trigeminal neuralgia (TN)

Definition

TN is orofacial pain restricted to one or more divisions of the trigeminal nerve. With the exception of TN caused by multiple sclerosis, the pain affects one side of the face. It is abrupt in onset and typically lasts only a few seconds (2 minutes at maximum). Patients may report their pain as arising spontaneously but these pain paroxysms can always be triggered by innocuous mechanical stimuli or movements.

Patients usually do not experience pain between paroxysms. If they do report additional continuous pain, in the same distribution and in the same periods as the paroxysmal pain, they are considered to have TN with continuous pain.

Classification TN is classified in 3 etiologic categories. Idiopathic TN occurs without apparent cause. Classical TN is caused by vascular compression of the trigeminal nerve root. Secondary TN is the consequence of a major neurologic disease, e.g., a tumor of the cerebellopontine angle or multiple sclerosis.

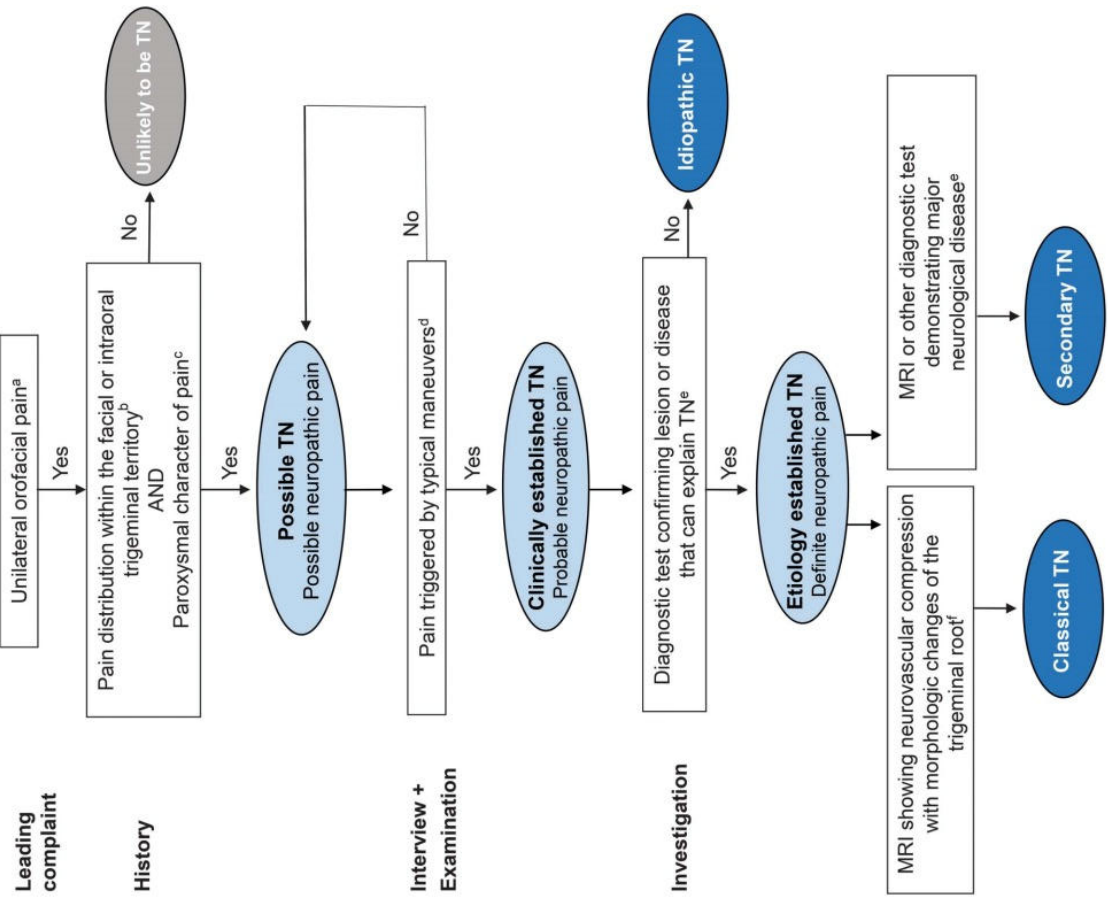
Either phenotype (with purely paroxysmal pain or with additional continuous pain) may occur with any of the 3 categories.

Giorgio Cruccu, MD
Nanna B. Finnerup, MD
Troels S. Jensen, MD,
PhD
Joachim Scholz, MD
Marc Sindou, MD, PhD
Peter Svensson, DDS,
PhD, Dr.Odont
Rolf-Detlef Treede, MD
Joanna M. Zakrzewska,
MD

Turo Nurmiikko, MD,
PhD



Neue Klassifikation und Grading System



[Neurology](#). 2016 Jul 12; 87(2): 220–228.

SD.

Pathophysiologie: klassische Trigeminusneuralgie

- Gefäss/Nervenkontakt bei 70-100%
- A. Cerebelli superior zu 80%
- Pulsation führt zur Demyelinisierung der Nerven, dies begünstigt:
 - Ephaptische* Übertragung nicht nozizeptiver Afferenzen auf nozizeptive Afferenzen wird begünstigt

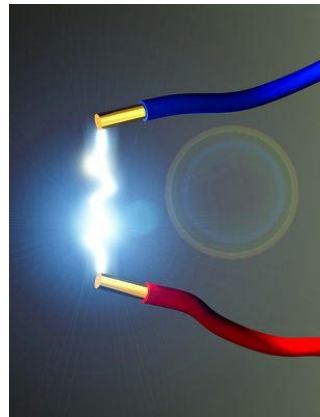


*Veränderung des elektrischen Membranpotentials und damit des Erregungszustands von Nervenzellen oder -fasern durch Membranströme, die das Aktionspotential unmittelbar benachbarter Zellen oder Fasern begleiten. Wenn die ephaptische Übertragung zwischen zwei benachbarten Axonen auftritt, die ihre Myelinscheide verloren haben, können Parästhesien die Folge sein

SD.

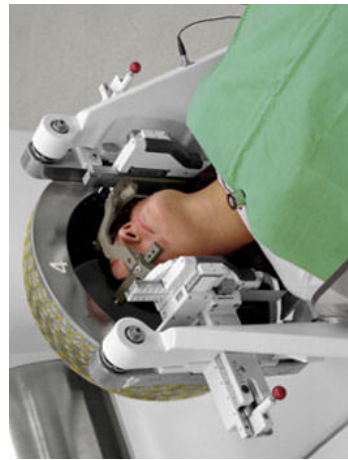
Schmerzcharakter

- Blitzartig einschiesend
- Extrem heftig
- Elektrisierend stechend
- Kurze Dauer – Sekunden bis < 2 min.
- Im Versorgungsgebiet eines od. mehrerer Trigeminusäste
- Spontan oder getriggert (Kauen, Schlucken, Zahneputzen)

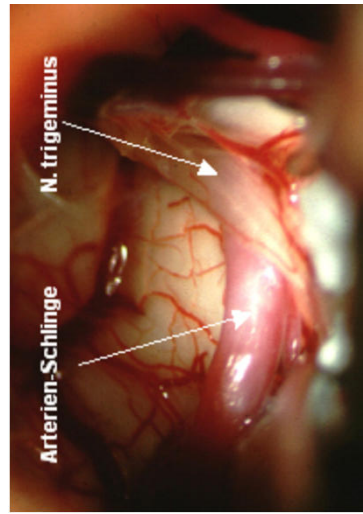


SD.

Invasive Therapieoptionen



- Radiochirurgische Behandlung mittels Gamma Knife

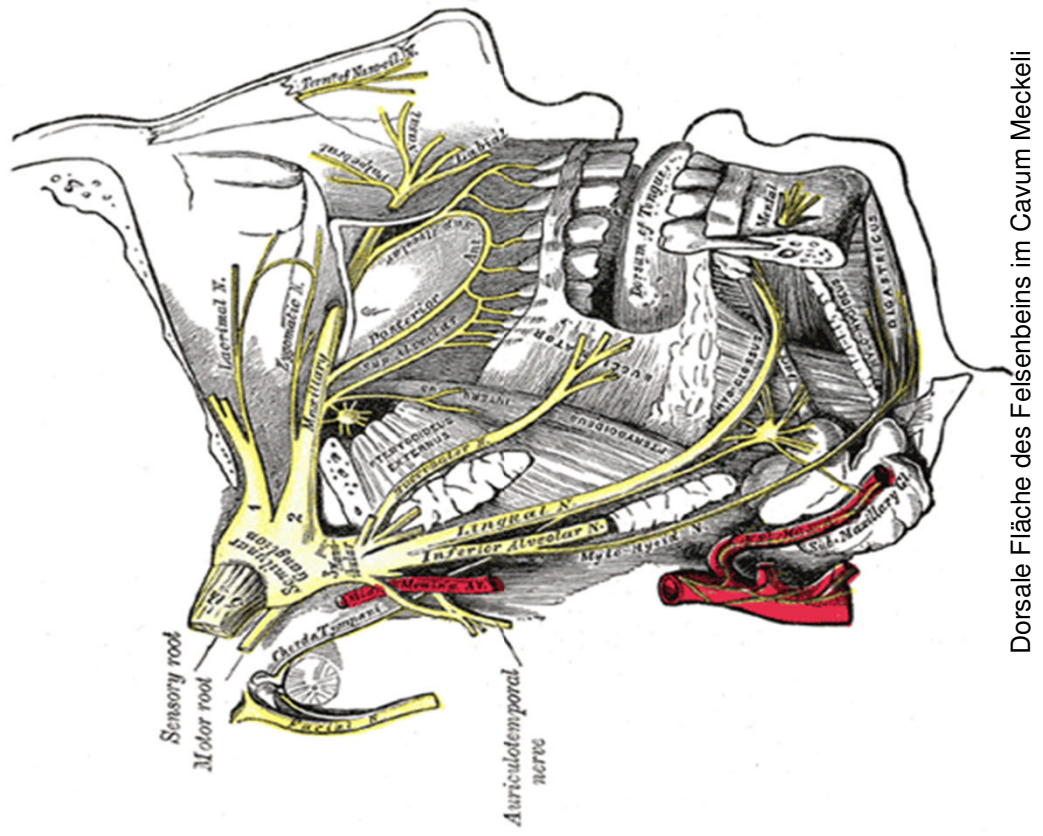
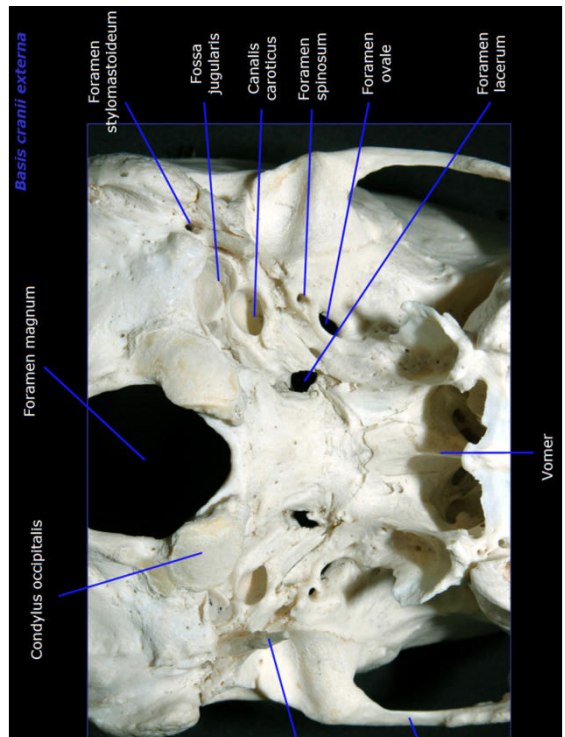
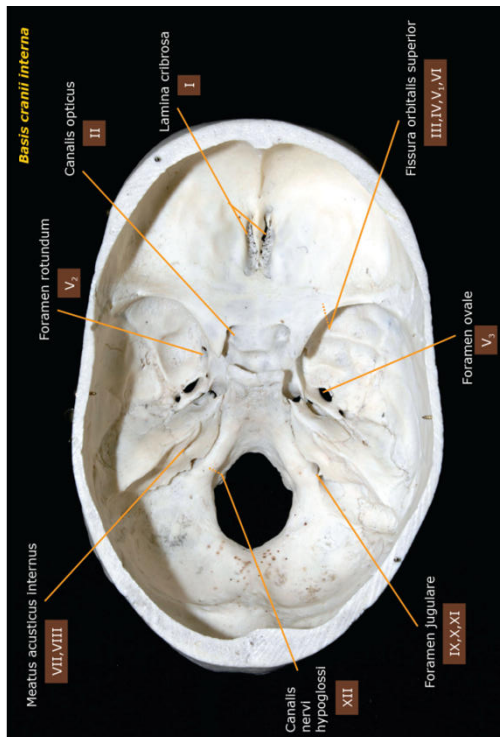


- Mikrovaskuläre Dekompression
(Jannett)

- Perkutane Verfahren am Ganglion Gasseri



Anatomie



Dorsale Fläche des Felsenbeins im Cavum Meckeli

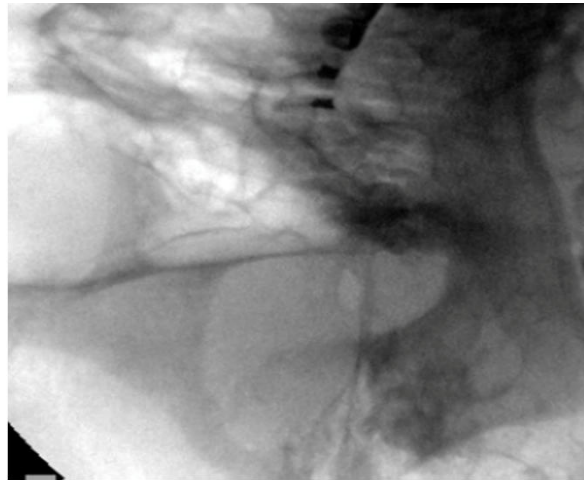
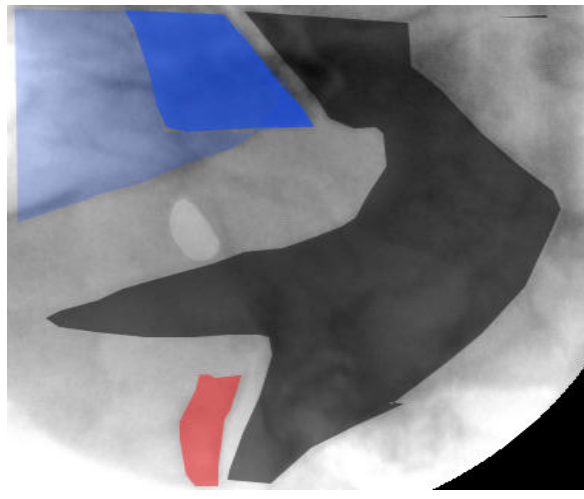
SD.

Radiofrequenztherapie

- Rückenlage, Kopf leicht fixiert
- Radiologische Darstellung des Foramen Ovale
- Erst dann erfolgt Kurznarkose
- Punktionsort 2-3cm lateral von Mundwinkel
- Einführen der Nadel extraoral (**Infektion!**)
- Probestimulation, dann Therapie mit ca. 60-70° C für 60 sec.
- PRF: 5 Hz, 5 ms, 10 min.

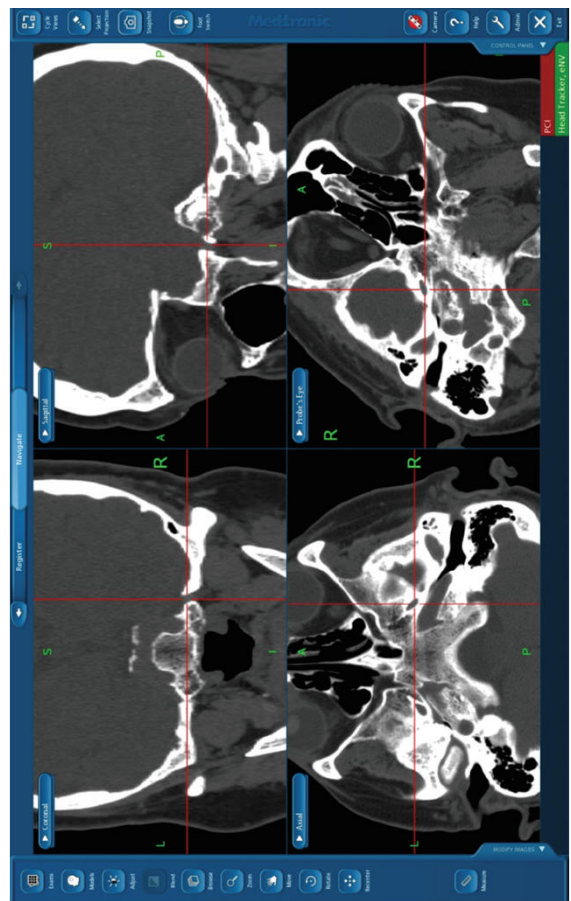
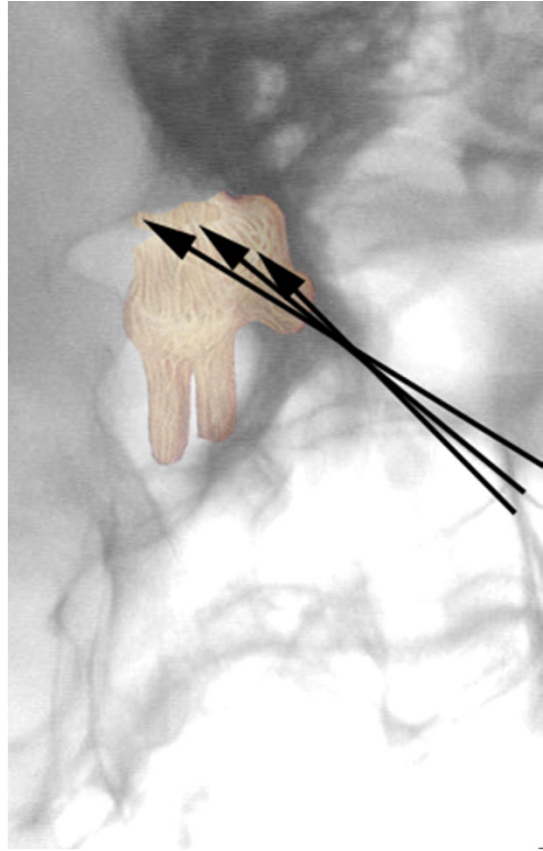
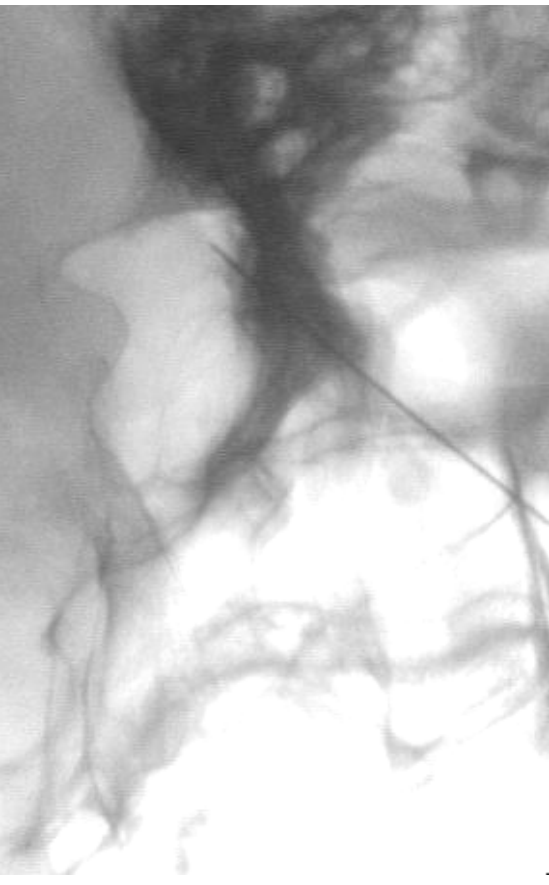
SO.

Radiofrequenzbehandlung



SD.

Nadelposition unter Durchleuchtung

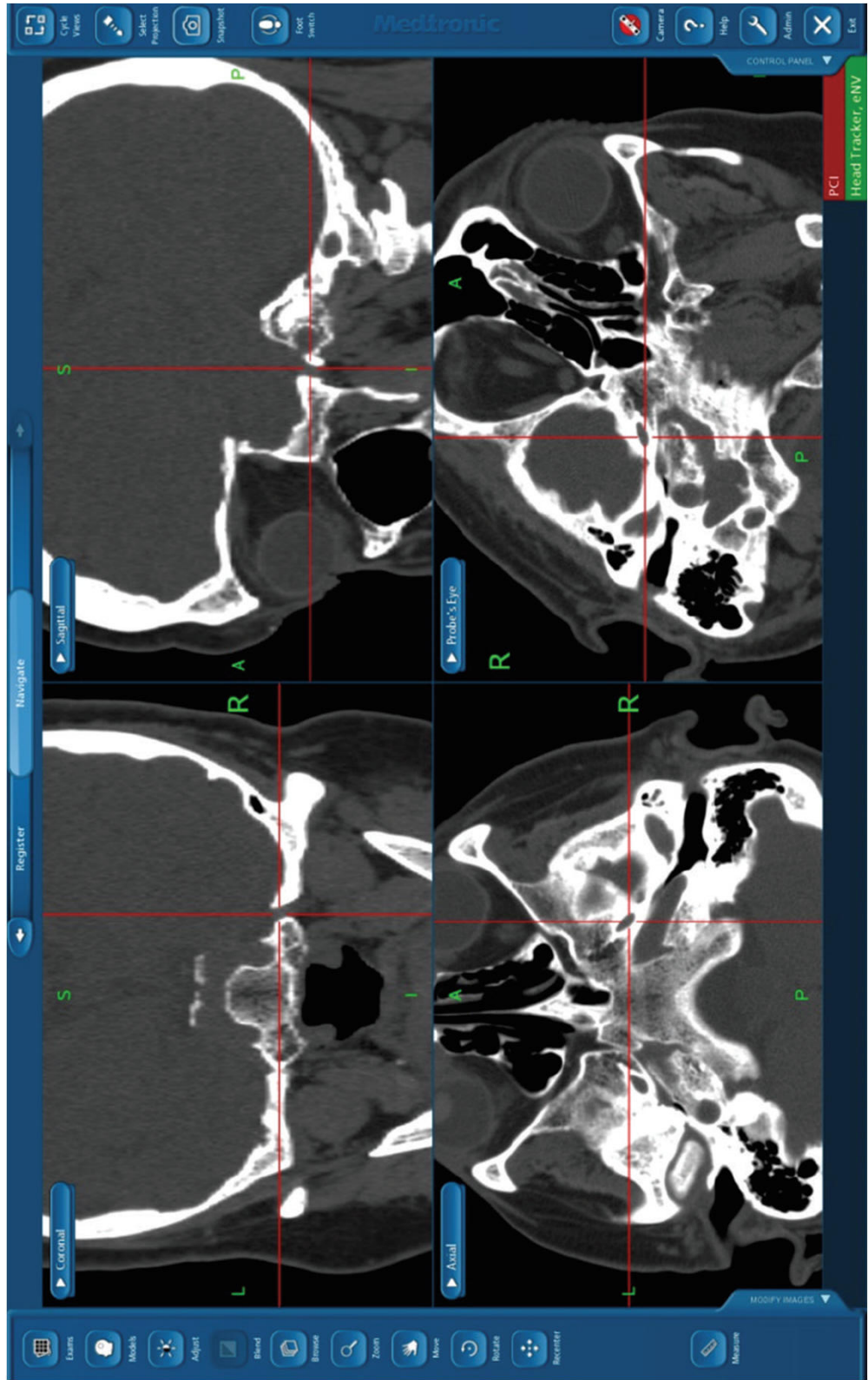


SD. CT Bildgebung und Durchleuchtungsdarstellung



SD.

Ganglion Gasseri Intervention unter Neuronavigation



SD.

Thermolässion Ganglion Gasseri

- Erfolgsrate bei 97(90*)% der Patienten
- Nach 5 Jahren noch 92(50*)% mit Linderung
- 20-40%: Hypästhesie, (6%*) Dysästhesie
- 2 (4*)%: Anaesthesia dolorosa
- 1(0.2%): Aseptische Meningitiden
- PRF: keine bleibenden Schäden



Anesth Pain. 2012;4(2):27-26. DOI:10.3929/MAJTM.3.93



Pulsed Radiofrequency Treatment for Trigeminal Neuralgia
Nicholas Hai Liang Chua¹, Willy Halim², Tjemme Beems³, Kris CP Vissers³



Percutaneous Controlled Radiofrequency Trigeminal Rhizotomy for the Treatment of Idiopathic Trigeminal Neuralgia: 25-year Experience with 1600 Patients

Practice Parameter: The diagnostic evaluation and treatment of trigeminal neuralgia (an evidence-based review): Report of the Quality Standards Subcommittee of the American Academy of Neurology and the European Federation of Neurological Societies
G. Gronseth, G. Cuccu, J. Alksne, et al.
Neurology 2008;71:1183; Published online before print August 20, 2008;
DOI 10.1212/01.wnl.0000326598.83183.04

This information is current as of January 21, 2012

NEUROSURGERY 2001; 48:524-32

Yücel Kanpolat, M.D., Ali Savas, M.D., Ph.D.,
Ahmet Bekar, M.D., Caglar Berk, M.D.
Department of Neurosurgery (YK, AS, CB), Ankara University School of Medicine,
Ankara, Turkey, and Department of Neurosurgery (AB), Uludag University School of
Medicine, Bursa, Turkey



SD.

Zusammenfassung

- Diverse Interventionen sowohl diagnostisch wie auch therapeutisch geben
- Als Monotherapie bei chronischen Schmerzzuständen nicht ausreichend
- In einem multimodalen, interdisziplinären Konzept wichtiges Instrument